

2015년도

마이크로파 및 전파전파

합동 학술대회 논문집

일 시 **2015년 5월 29일** (금요일)

장 소_ 서울 여의도 중소기업중앙회 회관

주 회_ 사단법인 대한전자공학회 마이크로파 및 전파전파 연구회
 사단법인 한국통신학회 마이크로파 및 전파 연구회
 사단법인 한국전자파학회 마이크로파 연구회
 사단법인 한국전자파학회 안테나 및 전파전파 연구회
 사단법인 대한전기학회 광전자 및 전자파 연구회
 IEEE MTT/AP/EMC Korea Chapter

후 원_ AWR KOREA



Oral Presentation Session I 마이크로파 능동회로 및 RFIC

▶장소 : 대회의실 1
좌장 : 정용채

13:30~15:20

O1-1-1 13:30~13:50	군지연 부정합에 따른 포락선 추적 전력증폭기의 비선형 특성 (CFP-034) 정준형(전북대학교), 정승호(전북대학교), 정용채(전북대학교)	69
O1-1-2 13:50~14:05	고조파 조정회로가 포함된 2.1 GHz 고효율 도허티 전력증폭기 설계 (CFP-008) 김민석(성균관대학교), 강현욱(성균관대학교), 이휘섭(성균관대학교), 임원섭(성균관대학교), 이우석(성균관대학교), 서민철(성균관대학교), 양영구(성균관대학교)	70
O1-1-3 14:05~14:20	부트스트래핑과 능동 몸체 바이어싱을 사용하여 문턱전압을 낮춘 무선전력전송 및 RFID 용 CMOS 정류기 (CFP-093) 진호정(한국항공대학교), 조춘식(한국항공대학교)	71
O1-1-4 14:20~14:35	Current Mirror Double-Balanced Mixer Using the Feedback of 2nd IF Harmonic (CFP-089) ... 박지안(한국항공대학교), 조춘식(한국항공대학교)	72
O1-1-5 14:35~14:50	LTE-A 소형셀 기지국용 800 MHz HBT 전력증폭기 설계 (CFP-038) 백승준(부산대학교), 안현진(부산대학교), 류현식(부산대학교), 이육구(부산대학교)	73
O1-1-6 14:50~15:05	능동 부궤환 회로를 이용한 고효율 CMOS 전력증폭기 설계 (CFP-033) 이승욱(전북대학교), 박준식(전북대학교), 임종식(순천향대학교), 정용채(전북대학교)	74
O1-1-7 15:05~15:20	고효율 CMOS RF 에너지 하베스팅 정류기 (CFP-030) 박준식(전북대학교), 이승욱(전북대학교), 임종식(순천향대학교), 정용채(전북대학교)	75

Oral Presentation Session V 레이다 및 안테나 응용

▶장소 : 대회의실 1
좌장 : 김경태

15:45 ~ 17:35

O1-2-1 15:45~16:05	압축센싱의 레이더 응용 (CFP-114) 김경태(포항공과대학교), 배지훈(포항공과대학교)	79
O1-2-2 16:05~16:20	ARP 기법을 이용한 ISAR 영상의 Range Cell Migration 보상 (CFP-016) 강민석(포항공과대학교), 김경태(포항공과대학교)	80
O1-2-3 16:20~16:35	차량용 레이더에서 DBF 기법을 이용한 다중 표적의 정확한 각도 추정 연구 (CFP-014) 이성현(포항공과대학교), 최인오(포항공과대학교), 김경태(포항공과대학교)	81
O1-2-4 16:35~16:50	부분적 반사면을 이용한 휴대폰용 다중대역 안테나의 SAR 감소방안 (CFP-110) 김종성(경성대학교)	82
O1-2-5 16:50~17:05	고출력 전자기 펄스파 방어용 모노폴 안테나 (CFP-103) 김수연(충남대학교), 우종명(충남대학교)	83
O1-2-6 17:05~17:20	파 발원지 추적 연구 (CFP-102) 임현빈(충남대학교), 우종명(충남대학교)	84
O1-2-7 17:20~17:35	Frequency-Switchable Half-Mode Substrate Integrated Waveguide Antenna Injecting Eutectic Gallium Indium (EGaln) Liquid Metal Alloy (CFP-079) Muhammad Usman Memon(중앙대학교), 임성준(중앙대학교)	85

균지연 부정합에 따른 포락선 추적 전력증폭기의 비선형 특성

정준형, 정승호, 정용재
 전북대학교 전자정보공학부
 jjunh05@jbnu.ac.kr, ycjceong@jbnu.ac.kr

I. 서론

포락선 추적 전력증폭기(ETPA)는 back-off 영역에서 높은 효율을 얻을 수 있기 때문에 무선통신 시스템에서 주로 사용 된다[1]. 포락선 추적 전력 증폭기는 크게 RF 경로와 포락선 경로로 구성되며, 최적의 동작을 위해 두 경로 사이에 균지연 정합이 필요하다[2]. 하지만 실제로는 두 경로 간에 ns 단위의 균지연 부정합이 존재하며, 이에 따라 신호 왜곡 및 비선형 특성이 나타난다.

본 논문에서는 ETPA의 두 경로 사이에 ns 단위의 균지연 부정합에 따른 비선형 특성 파악에 따른 비대칭 3차 상호변조(IM3) 특성에 대해 수학적 분석과 실험 결과를 제시한다.

II. 본론

ETPA는 크게 포락선과 RF 경로로 나누어진다. 이때 RF 경로에 균지연 τ 와 RF 전력 증폭기의 비선형 특성 동작과 위상왜곡 상수 ϕ 를 고려하여 2-분 신호가 인가되었을 경우 상하측과 대역의 3차 혼변조 왜곡 신호의 크기들은 식 (1)과 같이 표현될 수 있다.

$$IM3_{\text{up}} = \sqrt{\left[\frac{A}{2} \cos\left(\frac{\phi}{2} - \omega_1 \tau_1\right) + \frac{B}{2} \sin\left(\frac{\phi}{2} - \omega_1 \tau_1\right) + \frac{\phi C}{8} \sin(\omega_1 + 2\omega_c) \tau_1 \right]^2 + \left[\frac{B}{2} \cos\left(\frac{\phi}{2} - \omega_1 \tau_1\right) - \frac{A}{2} \sin\left(\frac{\phi}{2} - \omega_1 \tau_1\right) - \frac{\phi C}{8} \cos(\omega_1 + 2\omega_c) \tau_1 \right]^2} \quad (1a)$$

$$IM3_{\text{down}} = \sqrt{\left[\frac{A}{2} \cos\left(\frac{\phi}{2} + \omega_1 \tau_1\right) - \frac{B}{2} \sin\left(\frac{\phi}{2} + \omega_1 \tau_1\right) + \frac{\phi C}{8} \sin(\omega_1 - 2\omega_c) \tau_1 \right]^2 + \left[\frac{B}{2} \cos\left(\frac{\phi}{2} + \omega_1 \tau_1\right) + \frac{A}{2} \sin\left(\frac{\phi}{2} + \omega_1 \tau_1\right) + \frac{\phi C}{8} \cos(\omega_1 - 2\omega_c) \tau_1 \right]^2} \quad (1b)$$

이때 변수 A, B, C 는 식 (2)와 같고 MATLAB 시뮬레이션에 사용된 변수 값은 표 1과 같다.

$$A = \frac{ka_1 a_2}{2} \cos \omega_m \tau + \frac{ka_1 a_2}{2} \cos \omega_m \tau + (a_{30} + a_{31} V_{\text{min}} + a_0 a_3 k) \cos 3\omega_m \tau + \frac{ka_{31} a_6}{2} \cos 3\omega_m \tau \quad (2a)$$

$$B = \frac{ka_1 a_2}{2} \sin \omega_m \tau + \frac{ka_1 a_2}{2} \sin \omega_m \tau + (a_{30} + a_{31} V_{\text{min}} + a_0 a_3 k) \sin 3\omega_m \tau + \frac{ka_{31} a_6}{2} \sin 3\omega_m \tau \quad (2b)$$

$$C = a_{10} + a_{11} V_{\text{min}} + a_0 a_1 k \quad (2c)$$

표 1. MATLAB 시뮬레이션 변수 값

변수	a_0	a_2	a_4	a_6	a_{10}
값	$2/\pi$	$4/3\pi$	$-4/15\pi$	$4/35\pi$	1.5
변수	a_{11}	a_{30}	a_{31}	k	ϕ
값	-1.2	-1.5	0.07	25	0.3

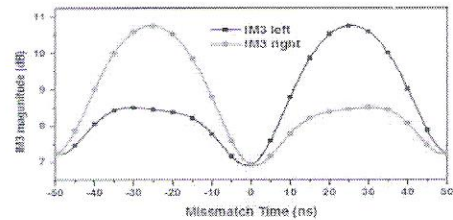


그림 1. 균지연 부정합에 따른 상하측과 대역의 3차 혼변조 왜곡 신호 크기 MATLAB 시뮬레이션.

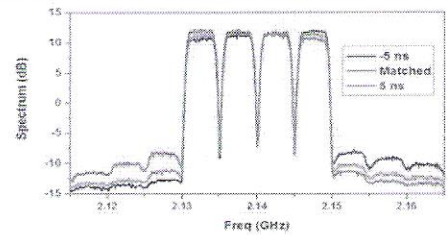


그림 2 균지연 부정합에 따른 출력 스펙트럼 변화

III. 결론

그림 1은 ETPA의 균지연 부정합에 따른 3차 혼변조 왜곡 신호의 크기 변화이다. 양의 균지연 부정합에선 하측 주파수 쪽, 그리고 음의 균지연 부정합에선 상측 주파수 쪽 3차 혼변조 왜곡 신호의 크기가 더 큰 비대칭 모양이 나타난다.

그림 2는 WCDMA 4FA (20MHz) 신호를 이용한 균지연 부정합에 따른 출력 스펙트럼이다. 중심주파수는 2.14 GHz며, ± 5 ns 균지연 부정합에 따라 ± 5 MHz ACPR이 각각 20.2 ~ 24.98 dBc, 24.78 ~ 20.3 dBc로 비대칭 스펙트럼이 나타난다. 따라서 ETPA에서 균지연 정합을 통해 최적화된 ACPR 특성 및 효율을 얻을 수 있다.

참고문헌

- [1] F. Wang, A. H. Yang, D. F. Kimball, L. E. Larson, and P. Asbeck, "Design of wide-bandwidth envelope-tracking power amplifier for OFDM applications," *IEEE Trans. Microw. Theory Tech.*, vol. 53, no. 4, pp. 1244-1255, Apr. 2005.
- [2] F. H. Raab, "Intermodulation distortion in Kahn-technique transmitters," *IEEE Trans. Microw. Theory Tech.*, vol. 44, no. 12, pp. 2273-2278, Dec. 1996.